УДК 539.219.2

## ТЕХНИЧЕСКАЯ ФИЗИКА

Л. Е. ПОПОВ, Н. А. КОНЕВА, Н. А. ЕНЬШИНА

## О ДИСЛОКАЦИОННЫХ ИСТОЧНИКАХ В СПЛАВАХ CO СВЕРХСТРУКТУРОЙ $L1_2$

(Представлено академиком Г. В. Курдюмовым 13 XI 1972)

В сплавах со сверхструктурой L12 скольжение одиночных дислокаций а/2<110> во всех октаэдрических системах скольжения связано с генерацией антифазных грапиц (а.ф.г.). Между тем предел текучести этих сплавов находится приблизительно на том же уровне, что и в сплавах без дальнего порядка. Этот факт привел Келера и Зейтца (1) и Коттрелла (2) к выводу, что деформация упорядоченных сплавов с этим типом сверхструктуры осуществляется сверхдислокациями, состоящими из двух дислокаций  $a/2\langle 110\rangle$  (последние получили название сверхчастичных (3)). Скольжение сверхдислокаций не требует генерации а.ф.г. и, следовательно, приложения связанного с ней дополнительного напряжения.

Для объяснения низкого предела текучести упорядоченных сплавов приходится предполагать, что генерация дислокаций с самого начала пластического течения осуществляется сверхдислокационными источниками (1, 2, 4). С ростом деформации и, следовательно, плотности дислокаций сопротивление движению сверхдислокаций возрастает быстрее, чем сопротивление движению одиночных дислокаций а / 2<110>, вследствие меньшей гибкости первых (5, 15). Поэтому при достижении некоторого уровия плотности дислокаций сверхчастичные дислокации должны скользить при более пизком уровне напряжений, чем сверхдислокации, несмотря на то, что их скольжение связано с созданием антифазных границ. При плотностях дислокаций, превышающих такую критическую плотность, активация источников, образованных одной дислокацией, осуществляется чем в случае сверхдислокационных источников.

Если сверхдислокационный источник является плоским  $\binom{6}{7}$ , то после прохождения первых сверхдислокаций сопротивление, обусловленное разрушением ближнего порядка, резко падает. Напряжение, необходимое для скольжения дислокаций, испущенных таким источником, может быть

представлено в виде

$$\tau_2^{(2)} = \alpha_2^{(2)} Gb \rho^{1_2} + \tau_F; \tag{1}$$

вдесь G — модуль сдвига, b — вектор Бюргерса сверхчастичной дислокации, ho- плотность дислокаций,  $au_{\scriptscriptstyle F}-$  сопротивление движению дислокаций, обусловленное силами трения. Нижний индекс у  $au_i^{(k)}$  и  $a_i^{(k)}$  указывает число дислокаций  $a/2\langle 110\rangle$ , образующих скользящий линейный дефект, а верхний — число дислокаций, входящих в состав дислокационных препятствий. Так, безразмерный множитель  $\alpha^{(2)}$  соответствует случаю скольжения сверхдислокаций, состоящих из двух дислокаций а / 2 (110), в кристалле, где дислокационными препятствиями являются также парные сверхдислокации. Множитель  $\alpha_2^{(2)}$  слабо зависит от  $\rho$ , G и энергии  $\gamma$  антифазной границы, соединяющей сверхчастичные (5), и при грубых оценках может рассматриваться как постоянный.

Если источник образован одной сверхчастичной дислокацией, то возможны два случая: 1) источник является плоским; 2) источник является пространственным или спиральным ( $^6$ ,  $^7$ ). В первом случае (рис.  $^{1}a$ ) каждая нечетная дислокация, испущенная источником, развертывает антифазную границу, а каждая четная дислокация восстанавливает правильное расположение узлов решетки. Две последовательные нечетная и четная дислокации образуют сверхдислокацию. Генерация первой дислокации требует дополнительного напряжения  $\gamma$  / b, следовательно, активация таких источников становится возможной при более высоком уровне напряжений, чем в случае сверхдислокационных источников. Если же монодислокационный псточник является пространственным или спиральным, последовательные кольца дислокаций (или витки спирали), генерируемые

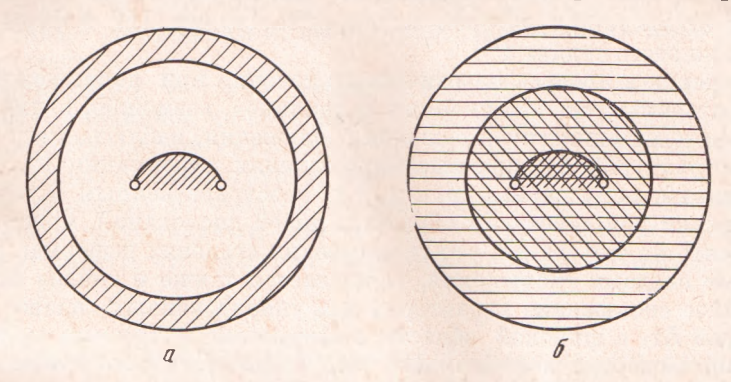


Рис. 1. Несверхдислокационные источники в сверхструктуре  $L1_2$ : a — плоский источник;  $\delta$  — пространственный источник (различной штриховкой показаны антифазные границы, лежащие в различных плоскостях)

источником, скользят в разных плоскостях (<sup>6</sup>) и, следовательно, пе могут стягиваться в сверхдислокации (рис. 16). Каждая дислокация, испущенная таким источником, при своем скольжепии развертывает антифазцую границу. Сопротивление движению дислокации в этом случае может быть выражено как

$$\tau_1^{(2)} = \alpha_1^{(2)} G b \rho^{1/2} + \tau_F + \gamma/b. \tag{2}$$

Поскольку  $\alpha_1^{(2)} < \alpha_2^{(2)}(^5)$ , при плотностях дислокаций, превышающих некоторую величину  $\rho_{\kappa}$ , сопротивление движению сверхчастичной дислокации становится меньше напряжения  $\tau_2$ . При таких плотностях дислокаций и соответствующих напряжениях пространственные источники дислокаций в упорядоченном сплаве становятся более продуктивными, чем сверхдислокационные источники. Из (1) и (2) следует, что плотность дислокаций  $\rho_{\kappa}$  и соответствующее ей напряжение  $\tau_{\kappa}$  могут быть выражены соотношениями

$$\rho_{\rm K} = \left[ \frac{\gamma}{(\alpha_2^{(2)} - \alpha_1^{(2)}) Gb^2} \right]^2, \tag{3}$$

$$\tau_{\kappa} = \frac{\alpha_2^{(2)}}{\alpha_2^{(2)} - \alpha_1^{(2)}} \frac{\gamma}{b} + \tau_F. \tag{4}$$

При тех температурах, когда неконсервативное волочение порогов и преодоление отталкивающихся дислокаций леса в случае одиночных дислокаций осуществляется с помощью термической активации,  $\alpha^{12} \approx 0.5 \alpha_2^{(2)}(^5)$ . Для хорошо упорядоченного сплава  $\mathrm{Ni}_3\mathrm{Mn}$  (энергия антифазной границы  $\gamma$  в этом сплаве, определенная из данных по ширине

сверхдислокаций ( $^8$ ,  $^{16}$ ), составляет 50-70 эрг/см $^2$ ,  $\tau_F \approx 5 \cdot 10^8$  кг/мм $^2$  ( $^9$ )) найдем

 $\tau_{\rm r} \approx 45 - 60 \text{ kg/mm}^2$ .

Разрушение монокристаллов упорядоченного сплава  $Ni_3Mn$  происходит при более низких напряжениях ( $20-30~kr/mm^2$  ( $^{16}$ )), поэтому эффекты, связанные со вступлением в процесс пластического течения пространственных источников, вряд ли можно наблюдать на монокристаллических образцах. В случае поликристаллов эти эффекты должны проявиться при напряжениях  $\sigma_k = m\tau_u$ , где  $m\approx 2$ , поскольку работа пространственных источников начнется прежде всего в благоприятно ориентированных зернах. Для поликристаллов упорядоченного сплава  $Ni_3Mn$  получим  $\sigma_k \approx 90-120~kr/mm^2$ . Это приблизительно соответствует уровню напряжения ( $70-100~kr/mm^2$ ), при котором начинается стадия III деформационного упрочнения этого сплава ( $^{10}$ ).

Вовлечение в процесс пластического течения при напряжениях  $\tau > \tau_{\kappa}$  пространственных дислокационных источников, возможно, является одной из причин появления грубых следов скольжения, наблюдаемых в сплавах со сверхструктурой  $L1_2$  при высоких степенях деформации (11, 12). Число n дислокаций, испускаемых при  $\tau > \tau_{\kappa}$  пространственным источником до его остановки под действием обратных полей дислокаций, можно оценить, основываясь на том факте, что при высоких степенях деформации, наряду с грубыми следами скольжения, наблюдается также и тонкое скольжение (10). Тонкое скольжение характерно для упорядоченных сплавов со сверхструктурой  $L1_2$  в широкой области деформаций и связано, по-видимому, с действием сверхдислокационных источников. Для того чтобы деформация сплава осуществлялась одновремению сверхдислокациями с одиночными дислокациями, должно выполняться соотношение

$$\tau_2^{(2)} = \tau_1^{(2)} + \frac{Gb}{2\pi} \sum_{i=1}^n \frac{1}{r_i}, \tag{5}$$

где  $r_i$  — расстояние от i-й дислокации скопления до дислокационного источника.

Нижнюю границу числа *п* дислокаций можно оценить, если принять равномерное распределение дислокаций в скоплении. Тогда

$$\sum_{i=1}^{n} \frac{1}{r_i} = \frac{n}{L} \sum_{i=1}^{n} \frac{1}{i}, \tag{6}$$

где L — расстояние от источника дислокаций до барьера.

Сумма  $\sum_{i=1}^{n} \frac{1}{i}$  может быть вычислена по формуле Эйлера

$$\sum_{i=1}^{n} \frac{1}{i} = \ln n + c, \tag{7}$$

где c = 0.5772.

Комбинируя (1), (2), (5), (6) и (7), получим уравнение

$$n(\ln n + c) = 2\pi L \left(\alpha_2^{(2)} - \alpha_1^{(2)}\right) \rho^{1/2} - \frac{2\pi L \gamma}{Gb^2}. \tag{8}$$

Для упорядоченного сплава  $\text{Ni}_3\text{Fe}$  (при комнатной температуре  $\alpha_2^{(2)}\approx 0.7$  ( $\alpha_2^{(2)}\approx 0.5\alpha_2^{(2)}$  ) и плотности дислокаций  $\alpha_2^{(2)}\approx 0.5\alpha_2^{(2)}$  ( $\alpha_2^{(2)}\approx 0.5\alpha_2^{(2)}$  ( $\alpha_2^{(2)}\approx 0.5\alpha_2^{(2)}$  ( $\alpha_2^{(2)}\approx 0.5\alpha_2^{(2)}$  ) и плотности дислокаций  $\alpha_2^{(2)}\approx 0.5\alpha_2^{(2)}$  ( $\alpha_2^{(2)}\approx 0.5\alpha_2^{$ 

<sup>\*</sup> Неопубликованные данные Н. А. Коневой, В. Ф. Есипенко, Ю. П. Шаркеева.

глубокой пластической деформации (14), найдем

$$n = 90.$$

Положив в (5)  $r_a = L$ , найдем верхний предел для числа дислокации в скоплениях при выбранных условиях:

$$n \approx 450$$
.

Следует заметить, что в (5) не учтено экранирование поля скопления полями дислокаций, возникающих в результате скольжения, индуцированного скоплением в других системах. Учет экранировки приведет к увеличению n.

Из (8) следует, что с повышением плотности дислокации в процессе деформации число дислокаций n, испускаемых пространственным источником, возрастает.

По-видимому, этим, а также меньшей вероятностью появления пространственных источников по сравнению с плоскими (°) объясняется возникновение грубых следов скольжения на стадии III деформационного

упрочнения сплавов со сверхструктурой  $L1_2$  (12).

Действие неплоских источников должно сопровождаться возникновением прослоек с неправильным для данной сверхструктуры соседством атомов. Легко видеть, что толщина таких прослоек определяется соотношением

$$h = nd, (7)$$

где d — расстояние между плоскостями  $\{111\}$ . Если грубое скольжение действительно связано с действием неплоских источников, то толщина прослоек с нарушенным дальним порядком должна составлять сотни ангстрем, и, следовательно, они могут быть обнаружены, например, в опытах с избирательным травлением.

Томский инженерно-строительный институт Томский государственный университет им. В. В. Куйбышева Поступило 9 XI 1972

## **ШИТИРОВАННАЯ ЛИТЕРАТУРА**

¹ J. S. Koehler, F. Seitz, J. Appl. Mech., 14, 217 (1947). ² A. X. Коттрелл, В сборн. Структура металлов и свойства, 1957, стр. 134. ³ A. E. Vidoz, L. M. В гоwn, Phil. Mag., 7, 1167 (1962). ⁴ P. A. Flinn, Trans. AJME, 218, 145 (1960). ⁵ Л. Е. Попов, Н. А. Конева, Тез. IV Всесоюзн. совещ. по упорядочению атомов и его влиянию на свойства сплавов, Томск, 1972. ⁶ В. А. Віlby, Report of Conference on Defects in Crystalline Solids (Bristol, 1954), London, 1955. р. 124. ² Ж. Фридель, Дислокации, М., 1967. ⁵ М. G. Магсіпкоwskii, D. S. Міller, Phil. Mag., 6, 871 (1961). ⁵ Л. Е. Попов, Э. В. Козлов, В. Островерхова, Упорядочение атомов и его влияние на свойства сплавов, Киев, 1969. ¹ Ол. Е. Попов, Э. В. Козлов и др., Физ. мет. и металловед., 21, 756 (1966). ¹ В. И. Сютки на, Э. С. Яковлева, Там же, 14, 745 (1962). ¹ Д. Е. Попов, Э. В. Козлов, Механические свойства упорядоченных твердых растворов, М., 1970. ¹ А. С. Агко, G. H. Lui, Metal. Trans. 2, 7 (1971). ¹ Ф. Е. Міккоla, J. В. Соhеп, Acta Met., 14, 105 (1966). ¹ Т. Е. Попов, Н. А. Конева, В сборн. Докл. IV Всесоюзн. совещ. по упорядочению атомов и его влиянию на свойства сплавов, Томск, 1973. ¹ 6 Г. И. Носова, Н. А. Полякова, Там же.